

II-240 クロレラによる塩化水銀とメチル水銀の濃縮

茨城県鹿島臨海工業地帯建設事務所 正員 ph.D. 松井三郎

1 まえがき 水銀の食物連鎖過程における濃縮は、水質汚染を検討する場合、きわめて重要な問題を提起している。陸上、水中の諸生物中における水銀濃度はすでに、各国で測定、検討されてきてはいるが、水銀の食物連鎖過程における移行現象を今後さらに突込んで研究されねばならないであろう。筆者は、淡水環境で普遍的に分布する植物性プランクトンの一種 *Chlorella pyrenoidosa* を利用して無機水銀($HgCl_2$)と有機水銀(CH_3HgCl)の濃縮を研究した。植物性プランクトンは primary producerとして、食物連鎖の第一段階に位置すること、また無機環境から有機物を光合成する生物として環境条件の変化が大きく濃縮に影響を与えるものと考えられる。本研究では、水環境因子を変化させてみると、濃縮に与える影響を実験的に詳しくめるとともに、従来一般的に使われてきている“濃縮係数”の概念についてクロレラの水銀濃縮を例として検討し若干の結論を得たので発表する。¹⁾

2 実験方法 クロレラは回分式に純粋培養し、実験中に細菌による汚染は厳密に注意して防いだ。使用した放射能性トレーサーは、塩化水銀($^{203}HgCl_2$) (specific activity 2.24 mc/mg) とメチル水銀($CH_3^{203}HgCl$) (specific activity 18 mc/g) で半減期は 46.9 日、崩壊は γ 線(0.279 MeV) β 線(0.208 MeV) による。クロレラ培養に使用した水質は、平均

表 I 人工培養水の内容

均的淡水水質に似してつく、た。(表-I 参照)	$NaHCO_3$ Na_2SO_4 NH_4NO_3 KNO_3 $CaCl_2$ H_3BO_3 $MgCl_2$ $FeSO_4 \cdot 7H_2O$	280.0 mg/l 74.6 " 60.0 " 25.8 " 12.3 " 11.4 " 9.4 " 5.3 "	microelements $Co(NH_3)_2 \cdot 6H_2O$ $MnCl_2$ $ZnSO_4 \cdot 7H_2O$ MoO_3 $CuSO_4 \cdot 5H_2O$	49.50 mg/l 9.15 " 8.05 " 7.16 " 1.70 "
-------------------------	---	--	--	--

みたが、EDTAを使用しないため十分な希釈が必要となった。pHの調節は空気を定期的に注入することで行ない、通常は平均して 8.2 付近となるようにした。実験は 1 l の滅菌フラスコを使い 500 ml の滅菌安定化合成水に種のクロレラを注入して開始した。光量は 400 ft-candle を通常とした。温度は、25±1 °C に調節され、magnetic stirrer で実験期間中完全混合を行なった。クロレラの増殖は、Bausch & Lomb の Spectronic 20 を吸光分析法(波長 480 millimicron)により測定した。クロレラの乾燥重量と吸光度の間に相関係数 $r=0.993$ のよび結果を得た。クロレラと培養液の分離は、遠心分離器(Universal UV)(1990XG)で 5 分間行なうと上澄液とクロレラをアルミニウムのプランチエットに別々に移された。放射能の測定は低バックグラウンド線測定装置(Sharp Laboratories Inc. LB100 Lowbeta)で行なった。塩化水銀、メチル水銀とも蒸発性を持っているので、サレプルの準備に注意が必要である。プランチエットに移されたサンプルを NaOH で pH を上昇させ、Na₂S 溶液を加えて赤外線で熱処理すると、塩化水銀、メチル水銀とも塩化水銀の安定した形に導くことができ蒸発が防げることをたしかめた。⁴⁾ ③ 塩化水銀の濃縮 無機水銀($HgCl_2$)のクロレラによる濃縮実験結果は、表-I、図-1 に示す。実験開始後 15 分で相当量の吸着があり、その後 10 時間かかるまで吸収を含めた濃

縮を完了していふと見
られる。(以後の実験で
は濃縮完了の時間を10

時間とした) クロレラ
比放射能量が最大値に
達したのち、クロレラ
の増殖とともに、クロ
レラ比放射能量が減少
(はじめ48時間のち

には、投入した水銀のうち約31%が全クロレラ比放射
され、約47%が溶液相中に残留し、約26%が蒸発
吸着により系外にでている。また濃縮係数に着目し
ても10時間から24時間で最高値に達しその後増殖と
ともに減少することが示されている。このことは、
クロレラが増殖とともに、より水銀を濃縮していく
うなうかの細胞内カニズムを助かしていふのか
どうかを含めた今後の検討が必要である。別の実験
で光量を 200ft-Candle とした場合と 400ft-Candle にて
場合の濃縮を調べたところ、クロレラ比放射能量が
最大値にいたるまでに両者間に何ら差異はない、その後
の増殖量の差異から、クロレラ比放射能量、濃縮
係数において、光量が多いほどそれらの値が減少が
速かつた。また粗体水銀濃度を 0.10 ppm, 0.05 ppm の
条件で濃縮させた場合、粗体水銀濃度が高いほど、
クロレラ比放射能量、濃縮係数ともに高くなる結果
を得た。またクロレラ濃度も濃縮係数に影響を与え
てゐることが確認された(図-2 参照)。

pH の変化
が、濃縮に与える影響を
実験したが、この場合、
クロレラの生物量をでき
るだけ同じ値に保つ必要
があることは、今までの
実験であさうかになつて
いる。pH が低いほど、
顯著にクロレラ比放射能

表2 無機水銀($HgCl_2$)のクロレラによる濃縮

項目	時 間							
	15 min	40 min	1 hr	4 hr	10 hr	24 hr	34 hr	48 hr
総放射能量 (dpm/ml)	781±31	779±31	700±29	747±29	670±29	615±27	602±27	578±25
(%)	100	99.5	96.0	95.7	85.8	78.3	77.0	74.0
溶液相中の放射能量 (dpm/ml)	680±29	680±29	600±27	567±27	445±24	380±22	380±22	330±20
(%)	87.2	80.6	76.8	72.3	57.0	48.6	48.6	47.3
クロレラ相中の放射能量 (dpm/ml)	100±7	130±8	157±8	186±9	225±10	225±10	226±10	242±11
(%)	13.0	16.5	20.4	23.9	38.8	28.8	28.9	31.0
クロレラ濃度 (mg/l)	25.5	25.5	28.0	28.5	30.0	34.5	50.5	93.0
クロレラ比放射能量 (dpm/mg) $\times 10^3$	392	510	560	655	750	651	448	261
濃縮係数 (ml/gm) $\times 10^3$	6.03	8.10	9.35	11.6	16.9	17.1	11.8	7.90

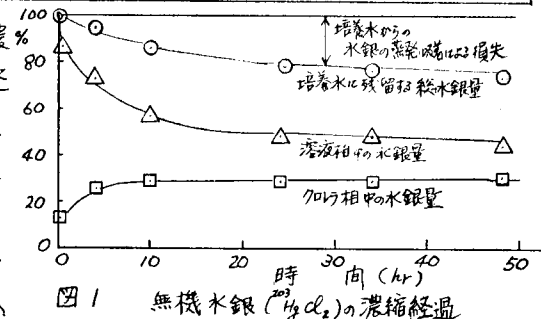


図1 無機水銀($HgCl_2$)の濃縮経過

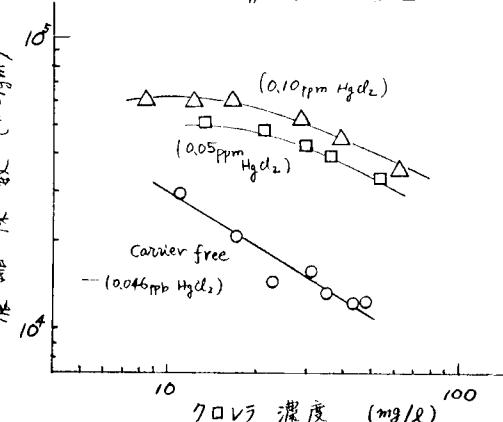


図2 粗体水銀濃度の濃縮係数に及ぼす影響

表3 pH の無機水銀濃縮に与える影響

項目	培養槽番号			
	1	2	3	4
実験開始 pH	4.8	6.0	7.0	8.0
実験最終 pH	5.6	6.7	7.6	8.2
溶液相中の放射能量 (dpm/ml)	97±11	162±14	186±15	218±17
クロレラ相中の放射能量 (dpm/ml)	217±17	152±14	128±13	96±11
粗体のクロレラ濃度 (mg/l)	7.0	7.0	7.0	7.0
最終のクロレラ濃度 (mg/l)	10.5	10.0	9.5	10.0
クロレラ比放射能量 (dpm/mg) $\times 10^3$	20.6	15.2	13.0	9.6
濃縮係数 (ml/gm) $\times 10^3$	211.0	94.0	72.6	49.1

量、濃縮係数が高くなる(表-3 参照)。次に共存陽イオン(21種)の影響について、 Ca^{++} と Mg^{++} を使い調

査した。この場合 Mg^{++} 濃度を

表 4 Ca^{++} と Mg^{++} イオンの無機水銀濃縮に与える影響

2.47 ppm から 100 ppm に変化させても濃縮に影響は認められないが、 Ca^{++} 濃度を 4.50 ppm から 45.0 ppm に変化させた場合あさらかに濃縮が高まることを知しかめた。(表-4 参照)

4 メチル水銀の濃縮

項目	濃度	Mg^{++} (ppm) $(Ca^{++}$ (ppm))	2.47 4.50	2.47 6.00	2.47 10.00	2.47 45.00	10.4 4.50	100.0 4.50
最終 pH		8.85	8.52	8.50	8.43	8.74	8.66	
溶液相中の放射能量 (dpm/ml)		18.4 ± 1.5	17.4 ± 1.5	14.5 ± 1.4	13.0 ± 1.3	16.7 ± 1.5	17.8 ± 1.5	
クロロ相中の放射能量 (dpm/ml)		42 ± 8	60 ± 9	89 ± 10	104 ± 11	59 ± 8	48 ± 8	
クロロ濃度 (mg/l)		19.4	18.5	18.5	18.5	20.0	19.0	
クロロ比放射能量 (dpm/mg) $\times 10^3$		2.16	3.24	4.81	5.62	2.95	2.53	
濃縮係数 (ml/g_m) $\times 10^3$		11.8	18.6	33.1	43.1	17.7	14.2	

メチル水銀のクロレラによると濃縮実験結果は、表-5、

図-3 に示す。塩化オニ水銀の実験結果と比較して、蒸発量が大きいこと、クロレラによる濃縮割合が大きく溶液相中に残留している水銀が非常に少なくなること

表 5 メチル水銀のクロレラによる濃縮

項目	時間									
	15 min	40 min	1 hr	3 hrs	5 hrs	10 hrs	24 hrs	34 hrs	48 hrs	72 hrs
総放射能量 (dpm/ml) (%)	245 ± 17	240 ± 17	215 ± 16	186 ± 15	151 ± 14	145 ± 13	123 ± 12	110 ± 11	107 ± 11	
溶液相中の放射能量 (dpm/ml) (%)	100	98.3	88.0	76.2	61.9	59.4	59.4	50.4	45.0	42.8
クロロ相中の放射能量 (dpm/ml) (%)	214 ± 16	207 ± 16	144 ± 13	110 ± 11	41 ± 7	25 ± 5	22 ± 5	18 ± 4	21 ± 5	7 ± 3
クロロ濃度 (mg/l)	5.0	5.0	5.0	5.0	5.0	6.0	7.5	11.5	28.0	106.0
クロロ比放射能量 (dpm/mg) $\times 10^3$	3.40	5.60	10.6	19.6	20.4	21.2	15.3	7.74	3.18	0.86
濃縮係数 (ml/g_m) $\times 10^3$	15.9	27.0	73.6	133	497	847	700	430	152	123

が違ひとしてあげられる。濃縮係数は塩化オニ水銀の場合より約50倍高いが、それが蒸発量が多いことから濃縮係数を利用することに問題がある。クロレラ相中の水銀量が実験開始後10時間で最大値に達する時は、塩化オニ水銀の場合と一致する時は、クロレラが増殖はじめると、クロレラ比放射

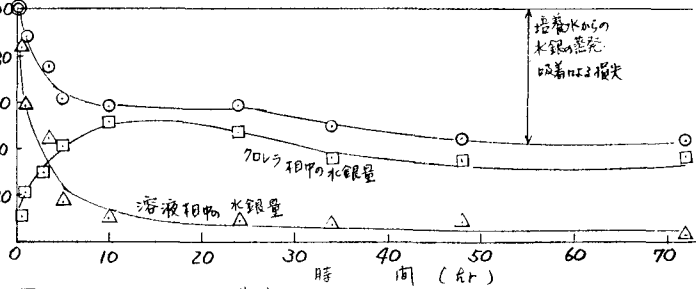


図 3 メチル水銀の濃縮経過

表 6 pH のメチル水銀濃縮に与える影響

pH	培養槽番号			
	1	2	3	4
総放射能量 (dpm/ml)	305 ± 21	308 ± 21	300 ± 21	287 ± 21
溶液相中の放射能量 (dpm/ml)	98 ± 13	81 ± 12	70 ± 12	46 ± 11
クロロ相中の放射能量 (dpm/ml)	173 ± 16	193 ± 17	206 ± 18	231 ± 19
クロロ濃度 (mg/l)	15.0	15.0	15.0	15.0
クロロ比放射能量 (dpm/mg) $\times 10^3$	11.5	12.8	13.75	15.4

能量がやはり減少はじめると、別の実験で、メチル水銀濃度が濃縮に影響を与えるかどうか実験を行なったが、メチル水銀濃度を上げると毒性効果によりクロレラの成長を阻害はじめること、メチル水銀の蒸発量が大きいこと等により、厳密な解析ができなかった。 pH の濃縮に与える影響は、表-6 に示すが、塩化オニ水銀の場合とは違つて、 pH が上るとともに蒸発量が高まる結果を示した。共存陽イオント(1価)の影響を Na^+ と K^+ を使って調べたが、淡水河川の Na^+ , K^+ 濃度範囲では、影響がみられなかつた。5 濃縮曲線と濃縮係数の関係 以上の結果から言えることは、濃縮係数、クロレ

ラ比放射能量が、生物存在量、水銀濃度、pH、共存陽イオン等さまざまな環境因子によって変化することが推定される。一方、放射性物質の水中植物による濃縮を Freundlich の等温吸着式を使って近似表現する試みがなされている⁵⁾。Freundlich の吸着式は、比較的狭い平衡濃度範囲で直線による近似

$$\frac{x}{m} = \kappa C^{\frac{1}{n}} \quad (1) \quad x: \text{濃縮された物質量}, m: \text{濃縮した生物量}$$

$C: \text{濃縮平衡時の水中物質濃度}$

$\kappa, n: \text{係数}$

を行なうものである。放射性物質の濃縮実験例から κ の値が 1.0 にない場合があることを報告されてゐる⁶⁾。濃縮係数は、Polikarpov⁷⁾の定義に従うと、

$$K = \frac{x/m}{C} \quad (2)$$

となり、(1)と(2)式を関連させると $K = \frac{x/m}{C} = \kappa C^{\frac{1}{n}-1}$ となる。この値が 1.0 でない場合濃縮係数は、平衡時水質濃度の逆数に比例することがわかる。そこで水銀の実験例から検討して図 4 に示すような濃縮曲線を描くことができる。この時対数目盛り平衡濃度の範囲を広くとつてある。

従って Freundlich の吸着式は、濃縮曲線の狭い範囲を直線近似することになる。そこで、曲線の勾配が大きく Freundlich の近似式で $n < 1$ なら n の範囲をオ一段階、さらに勾配が小さくなれば $n = 1$ の範囲をオ二段階、そして $n > 1$ の範囲をオ三段階に分類することができる。濃縮係数が平衡濃度、生物存在量等の因子に無関係に一定の値

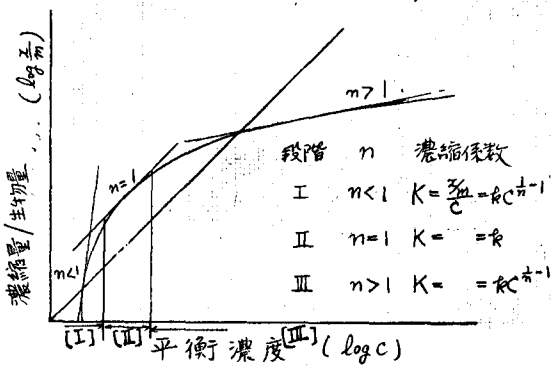


図 4 濃縮曲線の三段階

をとりうるは、オ二段階の範囲だけであることがわかる。この場合濃縮係数 K と Freundlich 吸着式の係数 κ が一致する。濃縮された物質、濃縮する生物の種類等によって、図 4 の濃縮曲線の型は変化するものと考えられる。無機水銀とメタル水銀のクロレラによる濃縮について図 4 の表現をとった場合（詳述は講演時行なう）オ一段階に入ることが判断された。従って濃縮係数は一定でなく、さもざまな環境因子によって変化することがわかった。従来の「濃縮係数」の概念を利用する場合、ここに示したように濃縮曲線を描きどの段階に分類されたか確認しなければ、その取扱いにおいて混乱を導くものと考えられる。なまこの研究は、U.S. Atomic Energy Commission Contract AT(11-1)-490 の支持でなされた。

- 参考文献
- 1). Saburo Matsui and E.F. Gleyne "Radioactivity Transport in Water Biological Accumulation of Mercuric and Methyl mercury by Chlorella pyrenoidosa," Technical Report 22 to U.S. Atomic Energy Commission AT(11-1)-490. The Univ. of Texas (1972)
 - 2). Stumm, W., and Morgan, J.J., *Aquatic Chemistry*, Wiley - Interscience, New York, N.Y. (1970)
 - 3). Morgan, L.O., and Myers, J., "Biological Accumulation of Inorganic Materials by Algae," Technical Report to the Office of Naval Research, Contract N80000-78000, The Univ. of Texas (1960)
 - 4). Whitmore, F.C., *Organic Compounds of Mercury*. The Chemical Catalog Company, Inc., New York, N.Y. (1950)
 - 5). 6). Armstrong, N.E., and Gleyne, E.F., "Radioactivity Transports in Water Numerical Solutions of Radioisotope Transport Equation and Role of Plants in Strontium-85 Transport," Technical Report 14 to U.S. Atomic Energy Commission, Contract AT(11-1)-490. The University of Texas (1967)
 - 7) Polikarpov, *Radioecology of Aquatic Organisms*, Reinhold Book Division, New York, N.Y. (1966)